

量子電気力学と REDUCE プログラム

山田 満*

(昭和61年9月8日受理)

REDUCE-aided Quantum Electrodynamics

Mitsuru YAMADA*

Abstract — Four examples of REDUCE-aided computation in perturbative quantum electrodynamics are shown: the Compton scattering; pair annihilation of an electron and a positron; the Moeller scattering; the Bhabha scattering. Useful formulae of relativistic kinematics and conventions for the scattering cross-section are also presented.

1. はじめに

REDUCEは米国のA. C. Hearnが1960年代後半に創始した数式処理システムである⁽¹⁾。現在までこの他にも多数の数式処理システムが考案されて来ているが高エネルギー物理学での応用ではREDUCEが最も有用であると言える。それはDiracガンマ行列の積のトレースを計算する命令が組みこまれていることによる。本篇では量子電気力学^(2,3)での反応断面積の摂動論による計算の代表的な4つの場合について、くりこみを必要としない最低次において、それらをREDUCEに援けられて実行する。§2では準備として、相対論的運動学と反応断面積の各種の規格化についてまとめる。§3から§6にかけてCompton散乱、電子陽電子の対消滅、Moeller散乱、Bhabha散乱をこの順にあつかう。使用したREDUCEは東京大学大型計算機センターに公開されているVersion 3.0である⁽¹⁾。又、相対論的力学の記述では時間的な計量を用いる、即ち $g = \text{diag}(1, -1, -1, -1)$ とする⁽⁴⁾。

量子電気力学の散乱過程の計算を従来の方法で実行しようとする、Diracガンマ行列のトレースの計算の際、多大な労力を要するという事はよく知られている。本篇では、とりあげる4つの場合すべてについて、計算のその部分を、REDUCEプログラムを書いて実行させることによって、正確にかつ迅速に処理する。得られる結果は

旧来の筆算によるものと当然ながら一致する。このことはさらにこみいった過程の遷移確率を求める場合への希望を持たせるものである。

2. 準備

2.1 量子電気力学のFeynman則

電子の電磁的相互作用は次のLagrangianで記述される。

$$\mathcal{L} = -\frac{1}{4} F_{\mu\nu} F^{\mu\nu} - \frac{1}{2\alpha} (\partial A)^2 + \bar{\psi} \{ \gamma_{\mu} (i \partial^{\mu} - e A^{\mu}) - m \} \psi.$$

ここで α はゲージ・パラメータで後の計算では常に1と置く。従って電子と光子とが行う衝突過程の遷移行列要素 T_{fi} を求める為のFeynman則は次の通りである。

- (1) 始状態の電子、陽電子、光子に対して、各々該当する次の様なスピノルを書く。

$$u(p), \bar{v}(p), \varepsilon_{\mu}(k)$$

- (2) 終状態の電子、陽電子、光子に対して、各々該当する次の様なスピノルを書く。

$$\bar{u}(p), v(p), \varepsilon_{\mu}^*(k)$$

- (3) 電子の内線に対して次の様なプロパゲータを書く。

*茨城大学工業短期大学部一般教育(日立市中成沢町)

General Education, College of Technology, Ibaraki University, Hitachi 316, Japan

$$\frac{1}{\not{x} - m}$$

(4) 光子の内線に対して次の様なプロパゲータを書く。

$$\frac{-g_{\mu\nu} + (1-\alpha) \frac{k_\mu k_\nu}{k^2}}{k^2}$$

(5) 電子, 電子, 光子の線の合する頂点に次の様な行列を書く。

$$e \gamma_\mu$$

(6) ループの運動量 k に対して次の様な4次元積分を行う。

$$\frac{i}{(2\pi)^4} \int d^4 k$$

(7) 電子の内線のつくるループ1個について (-1) を乗ずる。

なお, 規則(1), (2)にある電子, 陽電子, 光子のスピンルに関しては次の様な規格化しておくとする。

$$\sum_{\text{spin}} u(p) \bar{u}(p) = \not{x} + m$$

$$\sum_{\text{spin}} v(p) \bar{v}(p) = \not{x} - m$$

$$\sum_{\text{spin}} \epsilon_\mu(k) \epsilon_\nu^*(k) = -g_{\mu\nu} + g_{\mu\nu} \text{ゲージ項}$$

2.2 相対論的運動学

2.2.1 相対論的2粒子系

4次元運動量が p_1 と p_2 で質量が各々 m_1 と m_2 である様な2個の自由粒子の系を考える。

$$s = (p_1 + p_2)^2$$

とするとき関数

$$\lambda(s, m_1^2, m_2^2) = s^2 - 2(m_1^2 + m_2^2)s + (m_1^2 - m_2^2)^2$$

を使うと便利である。この関数を単に λ と書くことも許すことにしよう。 λ はいく通りにも因数分解できる。例えば,

$$\lambda = (\sqrt{s} + m_1 + m_2)(\sqrt{s} - m_1 - m_2) \times (\sqrt{s} + m_1 - m_2)(\sqrt{s} - m_1 + m_2)$$

$$= \{s - (m_1 + m_2)^2\} \{s - (m_1 - m_2)^2\}.$$

\sqrt{s} , m_1 , m_2 を3辺にもつ三角形の面積を S とすると有名な Heron の式により

$$S = \frac{1}{4} \sqrt{-\lambda} \quad \text{即ち} \quad \lambda = -16 S^2.$$

力学的に意味のある場合には $\lambda \geq 0$ となり S は純虚数になる。

まず Lorentz 変換によって2粒子系の重心系に移った場合を考える。この系での全エネルギーは \sqrt{s} になる。この系でどちらか一方の粒子が持つ3次元運動量の大きさを p_{CM} と書いておこう。次に1番目の粒子が静止する様な実験室系に移ったときの2番目の粒子のエネルギーと3次元運動量の大きさを E_2^{L} と p_2^{L} , 逆に2番目の粒子が静止する系に移った時の1番目の粒子のエネルギーと3次元運動量の大きさを E_1^{L} と p_1^{L} と書く。これらの量の間の関係は次の式であらわされる。

$$\frac{1}{2} \sqrt{\lambda} = \sqrt{s} p_{\text{CM}} = m_1 p_2^{\text{L}} = m_2 p_1^{\text{L}},$$

$$s - m_1^2 - m_2^2 = 2 m_1 E_2^{\text{L}} = 2 m_2 E_1^{\text{L}}.$$

特別な場合の λ の形を求めておく。

$$\lambda(s, m^2, m^2) = s(s - 4m^2),$$

$$\lambda(s, m^2, 0) = (s - m^2)^2,$$

$$\lambda(s, 0, 0) = s^2.$$

2.2.2 2体→2体反応

反応 $1 + 2 \rightarrow 3 + 4$ でそれぞれの粒子の4次元運動量を p_1, p_2, p_3, p_4 とし, 質量を m_1, m_2, m_3, m_4 とする。

$$s = (p_1 + p_2)^2 = (p_3 + p_4)^2,$$

$$t = (p_1 - p_3)^2 = (p_2 - p_4)^2,$$

$$u = (p_1 - p_4)^2 = (p_2 - p_3)^2.$$

という3つの変数がしばしば用いられる。これらのうち独立な変数は2つだけである。即ち

$$s + t + u = \sum_{i=1}^4 m_i^2.$$

重心系でこの反応を観測するとき p_1 と p_3 , 又は p_2 と p_4 と

のなす角度を散乱角と呼び θ と書くと

$$\cos \theta = \frac{1}{\sqrt{\lambda_i \lambda_f}} \{ s(t-u) + (m_1^2 - m_2^2)(m_3^2 - m_4^2) \}$$

ただし

$$\lambda_i = \lambda(s, m_1^2, m_2^2),$$

$$\lambda_f = \lambda(s, m_3^2, m_4^2).$$

2.3 状態, S 行列要素, 反応断面積等の規格化

2.3.1 最も一般的な状態の規格化を行う場合

3 次元運動量が ρ である状態の波動関数を, 最も一般的に

$$\langle x | \rho \rangle = \sqrt{\rho} e^{i\rho x}$$

としたとしよう。 ρ は ρ に依存してもよいとする。このとき運動量状態の直交性は

$$\langle \rho' | \rho \rangle = (2\pi)^3 \rho \delta^3(\rho' - \rho).$$

そこで 1 粒子状態に対する単位の間割は

$$\frac{1}{(2\pi)^3} \int \frac{d^3\rho}{\rho} |\rho\rangle \langle \rho| = I.$$

このことを, 1 粒子状態の相空間 (phase space) の積分要素が

$$dPS = \frac{1}{(2\pi)^3} \frac{d^3\rho}{\rho}$$

と書けると言ってもよい。

異種粒子の n 体系については

$$dPS = \prod_{i=1}^n \frac{1}{(2\pi)^3} \frac{d^3\rho_i}{\rho_i}$$

となる。同種粒子が 2 個以上含まれる場合には, それらが互に区別できないことを考慮して, 修正しなければならない。例えば同種粒子ばかり n 個ある系の場合には

$$dPS = \frac{1}{n!} \prod_{i=1}^n \frac{1}{(2\pi)^3} \frac{d^3\rho_i}{\rho_i}.$$

さて, この様に規格化した自由粒子状態 $|i\rangle, |f\rangle$ を各々始状態, 終状態にもつ様な S 行列要素は

$$S_{fi} = \langle f | S | i \rangle$$

と書かれる。 S はユニタリ作用素である。今 $\langle f | i \rangle = 0$ として, 始状態 $|i\rangle$ から終状態 $|f\rangle$ への毎秒・単位体積当りの遷移確率を w_{fi} とすると

$$w_{fi} = \frac{|S_{fi}|^2}{V \cdot T},$$

ここで, $V \cdot T$ は相互作用が行われている 4 次元時空領域の体積である。外場がない場合には

$$V \cdot T = \int d^4x e^{i0x} = (2\pi)^4 \delta^4(0)$$

と考えることができる。又

$$S_{fi} = \delta_{fi} - i(2\pi)^4 \delta^4(\sum p_f - \sum p_i) T_{fi}$$

によって遷移行列要素 T_{fi} を導入しても十分一般的であるからその様にする

$$w_{fi} = (2\pi)^4 \delta^4(\sum p_f - \sum p_i) |T_{fi}|^2$$

となる。

終状態の相空間の体積要素 dPS 内への毎秒当りの遷移確率は

$$d w_{fi} = w_{fi} dPS$$

である。

衝突過程 $1 + 2 \rightarrow 3 + 4 + \dots$ については衝突断面積の概念が一般的に用いられるが, これは ρ_1 と ρ_2 とが互に平行か又はどちらかが 0 になる様な慣性系で定義される量である。終状態 dPS 内へ向かう断面積は

$$d\sigma = \frac{w_{fi}}{\text{flux}} dPS$$

となる。ここで

$$\text{flux} = \rho_1 \rho_2 v_{\text{rel}}$$

$$v_{\text{rel}} = \left| \frac{\rho_1}{E_1} - \frac{\rho_2}{E_2} \right|.$$

$d\sigma$ は Lorentz 不変な量であり面積の単位で量られる。

粒子の崩壊過程 $1 \rightarrow 2 + 3 + \dots$ では毎秒当りの終状態 dPS 内への崩壊確率

$$d\Gamma = \frac{w_{fi}}{\rho_1} dPS$$

で表わすのが便利である。この量は(1/秒)の単位で量られる。

2.3.2 我々の使う状態規格化の場合

我々は § 3 以下で専ら

$$\rho = 2 \omega_\rho = 2 \sqrt{p^2 + m^2}$$

の規格化を用いる。こうすると

$$\langle x | \rho \rangle = \sqrt{2 E_\rho} e^{i p x}$$

$$\langle \rho' | \rho \rangle = (2\pi)^3 2 E_\rho \delta^3(\rho' - \rho)$$

$$dPS = \frac{1}{(2\pi)^3} \frac{d^3 p}{2 E_\rho}$$

さらに flux が Lorentz 不変になって

$$\text{flux} = 2 \sqrt{\lambda_i}$$

従って

$$d\sigma = \frac{1}{2 \sqrt{\lambda_i}} (2\pi)^4 \delta^4(\Sigma p_f - \Sigma p_i) |T_{fi}|^2 dPS$$

$$d\Gamma = \frac{1}{2 E_1} (2\pi)^4 \delta^4(\Sigma p_f - \Sigma p_i) |T_{fi}|^2 dPS.$$

波力学の衝突問題で用いられる弾性衝突の散乱振幅 $f(\theta, \phi)$ と我々の遷移行列要素 T_{fi} との関係は

$$f(\theta, \phi) = - \frac{T_{fi}}{8 \pi \sqrt{s}}.$$

2体→2体反応の重心系における微分断面積は

$$\left(\frac{d\sigma}{d\Omega}\right)_{CM} = \frac{1}{64 \pi^2 s} \frac{p_f}{p_i} |T_{fi}|^2.$$

又、

$$d\Omega = 2\pi d\cos\theta = \frac{\pi}{p_i p_f} dt$$

だから次の様に書いてもよい。

$$\frac{d\sigma}{dt} = \frac{|T_{fi}|^2}{16\pi \lambda_i}.$$

重心系における2体崩壊 $1 \rightarrow 2 + 3$ の確率の角度分布は

$$\left(\frac{d\Gamma}{d\Omega}\right)_{CM} = \frac{p_f}{32 \pi^2 m_1^2} |T_{fi}|^2.$$

なおこれらの最終結果に必ず $|T_{fi}|^2$ という量があらわれている。もし、始状態のスピンが全く平均化されている状態で、終状態のスピンが偏りについて和をとったもののみを観測する場合には、これまでに求めた式で $|T_{fi}|^2$ の替りに、衝突の場合には

$$\frac{1}{N_1 N_2} \sum_{\text{spins}}^{\text{initial}} \sum_{\text{spins}}^{\text{final}} |T_{fi}|^2$$

を代入したものが、又崩壊の場合には

$$\frac{1}{N_1} \sum_{\text{spin}}^{\text{initial}} \sum_{\text{spins}}^{\text{final}} |T_{fi}|^2$$

を代入したものが実験と比べられなければならない。ここで N_i は i 番目の粒子のスピン多重度の意味で、その粒子が質量をもち、スピンの大きさが j_i なら $N_i = 2j_i + 1$ となる。それが光子の場合には $N_i = 2$ である。 $|T_{fi}|^2$ の替りに用いられるべきこれらの量は以下しばしば単に

$$\Sigma' |T_{fi}|^2 \text{ 又は } \text{T SQ}$$

としてあらわされる(後者は T Squared の意)。

3. Compton 散乱

Compton 散乱は電子による光子の弾性散乱である。各粒子の運動量を次の様にとろう。

$$e(p_a) + \gamma(k_a) \rightarrow e(p_b) + \gamma(k_b).$$

2次の Feynman 図は二つ生ずる。

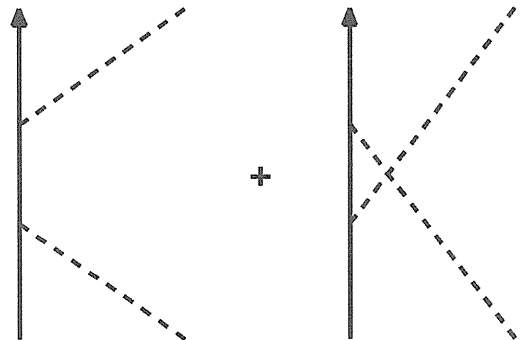


Fig. 1 Feynman diagrams for the Compton scattering.

散乱振幅は

$$\frac{1}{e^2} T_{fi} = \varepsilon_a(k_a)_\mu \varepsilon_b^*(k_b)_\nu \bar{u}(p_b) \left\{ \frac{\gamma_\nu (\not{k}_a + \not{p}_a + m) \gamma_\mu}{s - m^2} + \frac{2}{x} \frac{-s^2 + 6m^2 s + 3m^4}{s - m^2} + \frac{8m^4}{x^2} \right. \\ \left. + \frac{\gamma_\mu (\not{p}_a - \not{k}_b + m) \gamma_\nu}{u - m^2} \right\} u(p_a).$$

ここで $\varepsilon_a(k_a)_\mu$ と $\varepsilon_b(k_b)_\mu$ は各々始状態と終状態の光子の偏りベクトルである。

これから

$$\frac{1}{e^4} \text{TSQ} = \frac{1}{4e^4} \sum_{\text{spins}} \sum \sum \sum |T_{fi}|^2 \\ = \frac{A_a}{(s - m^2)^2} + \frac{A_a + B_a}{(s - m^2)(u - m^2)} + \frac{B_b}{(u - m^2)^2}$$

ただし

$$A_a = \frac{1}{4} \text{Tr} [(\not{p}_a + m) \gamma_\mu (\not{k}_a + \not{p}_a + m) \gamma_\nu (\not{p}_b + m) \gamma_\nu (\not{k}_a + \not{p}_a + m) \gamma_\mu] \\ B_b = \frac{1}{4} \text{Tr} [(\not{p}_a + m) \gamma_\nu (\not{p}_a - \not{k}_a + m) \gamma_\mu (\not{p}_b + m) \gamma_\mu (\not{p}_a - \not{k}_b + m) \gamma_\nu] \\ A_b = \frac{1}{4} \text{Tr} [(\not{p}_a + m) \gamma_\nu (\not{p}_a - \not{k}_b + m) \gamma_\mu (\not{p}_b + m) \gamma_\mu (\not{k}_a + \not{p}_a + m) \gamma_\nu] \\ B_b = \frac{1}{4} \text{Tr} [(\not{p}_a + m) \gamma_\mu (\not{k}_a + \not{p}_a + m) \gamma_\nu (\not{p}_a + m) \gamma_\mu (\not{p}_a - \not{k}_b + m) \gamma_\nu]$$

この4つの量を REDUCE プログラムを用いて計算すると、

$$A_a = 2 \{ (s - m^2) t + s^2 + 3m^4 \} \\ B_b = 2 \{ (u - m^2) t + u^2 + 3m^4 \} \\ = 2 \{ (s - 3m^2) t + s^2 - 4m^2 s + 7m^4 \} \\ A_b = B_a = 2m^2 \{ -t + 4m^2 \}.$$

全断面積を求める為の角度積分を実行しよう。 $x = u - m^2$ として TSQ を x のべきに展開すると

$$\frac{1}{e^4} \text{TSQ} = \frac{-2x}{s - m^2} + \frac{8m^2 s}{(s - m^2)^2}$$

さらに

$$\frac{d\sigma}{dx} = \frac{d\sigma}{dt} = \frac{\text{TSQ}}{16\pi(s - m^2)^2}$$

であるから

$$\sigma_{\text{tot}} = \int_{x_1}^{x_2} \frac{d\sigma}{dx} dx = \frac{e^4}{16\pi} \left\{ \frac{s + m^2}{s^2} + \frac{2(s^2 - 6m^2 s - 3m^4)}{(s - m^2)^3} \ln \frac{s}{m^2} + \frac{16m^2}{(s - m^2)^2} \right\}.$$

ここで積分の上下限 x_1, x_2 は

$$x_1 = -s + m^2 \quad (\text{前方散乱})$$

$$x_2 = -m^2 + \frac{m^4}{s} \quad (\text{後方散乱}).$$

実験室での光子エネルギーを ω とすると $2m\omega = s - m^2$ 従って ω であらわした全断面積は

$$\sigma_{\text{tot}} = \pi r^2 \left\{ \frac{2m(m + \omega)}{(m + 2\omega)^2} + \frac{4m^2}{\omega^2} + \frac{m}{\omega^3} (-2m^2 - 2m\omega + \omega^2) \ln \frac{m + 2\omega}{m} \right\},$$

ここで

$$r = \frac{e^2}{4\pi m} = 2.817 \times 10^{-13} \text{ cm}$$

は電子の古典半径である。

低エネルギー極限では

$$\sigma_{\text{tot}} = \pi r^2 \left\{ \frac{8}{3} - \frac{16}{3} \frac{\omega}{m} + O\left(\frac{\omega^2}{m^2}\right) \right\}.$$

反対に、高エネルギー極限では

$$\sigma_{\text{tot}} = 2\pi r^2 \cdot \frac{m^2}{s} \ln \frac{s}{m} + O\left(\frac{1}{s}\right),$$

又は、 $y = \frac{\omega}{m}$ として

$$\sigma_{\text{tot}} = \pi r^2 \left\{ \frac{\ln 2y}{y} - \frac{2}{y^2} \ln 2y + O(y^{-2}) \right\}$$

が成り立つ。

なお実験室系での微分断面積を与える次式は Klein-Nishina の式と呼ばれる。

$$\left(\frac{d\sigma}{d\Omega} \right)_{\text{Lab}} = \frac{r^2 \omega'}{2 \omega} \left(\frac{\omega'}{\omega} + \frac{\omega}{\omega'} - \sin^2 \theta \right).$$

ここでは ω , ω' が各々散乱前, 散乱後の光子のエネルギー

をあらわす。又, θ は実験室系での散乱角であり, これら 3 者の間には次の関係がある。

$$\omega' = \frac{m \omega}{m + \omega (1 - \cos \theta)}, \quad \omega = \frac{m \omega'}{m - \omega' (1 - \cos \theta)}.$$

$\omega \rightarrow 0$ の極限をとると

$$\left(\frac{d\sigma}{d\Omega} \right)_{\text{Lab}} = \frac{r^2}{2} (1 + \cos^2 \theta)$$

となり低エネルギー極限でも球対称にならない。

```

00000001 %----- COMPTON SCATTERING -----;
00000002 LINELength(78);
00000003 130
00000004
00000005 MASS PA=M,PB=M,KA=0;
00000006 MSHELL PA,PB,KA;
00000007
00000008 PA,PB:=M**2-TT/2*
00000009 PA,KA:=(S-M**2)/2*
00000010 PB,KA:=(M**2-U)/2*
00000011 U:=2*M**2-S-TT*
00000012
00000013 INDEX MU,NU;
00000014 OPERATOR F;
00000015
00000016 FORALL P LET F(P)=G(L,P);
00000017
00000018 AA:=(F(PA)+M)*F(MU)*(F(PA+KA)+M)*F(NU)*
00000019 (F(PB)+M)*F(NU)*(F(PA+KA)+M)*F(MU);
00000020
00000021 AA := 2*(3*M4 - M2*TT + S2 + S*TT)
00000022
00000023
00000024 BB:=(F(PA)+M)*F(NU)*(F(PB-KA)+M)*F(MU)*
00000025 (F(PB)+M)*F(MU)*(F(PB-KA)+M)*F(NU);
00000026
00000027 BB := 2*(7*M4 - 4*M2*S - 3*M2*TT + S2 + S*TT)
00000028
00000029
00000030 AB:=(F(PA)+M)*F(NU)*(F(PB-KA)+M)*F(MU)*
00000031 (F(PB)+M)*F(NU)*(F(PA+KA)+M)*F(MU);
00000032
00000033 AB := 2*M2*(4*M2 - TT)
00000034
00000035
00000036 BA:=(F(PA)+M)*F(MU)*(F(PA+KA)+M)*F(NU)*
00000037 (F(PB)+M)*F(MU)*(F(PB-KA)+M)*F(NU)*
00000038
00000039 AB-BA;
00000040 0
00000041
00000042 AA-SUB(S=2*M**2-TT-S,BB);
00000043 0
00000044
00000045 END;

```

Fig. 2 REDUCE program for the Compton scattering.

4. 電子陽電子消滅

これは電子と陽電子の対が消滅して2個の光子になる反応である。各粒子の4次元運動量を

$$e^-(p) + e^+(q) \rightarrow \gamma(k_1) + \gamma(k_2)$$

となる様にとる。2次のFeynman図は2個生じ、それらによる寄与を同符号にて加えあわせたものが T_{fi} を与える。

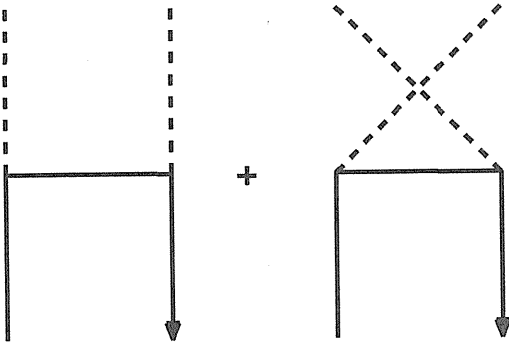


Fig. 3 Feynman diagrams for pair annihilation.

即ち,

$$\frac{T_{fi}}{e^2} = \bar{v}(q) \left\{ \frac{\gamma_\nu (\not{p} - \not{k}_1 + m) \gamma_\mu}{t - m^2} + \frac{\gamma_\mu (\not{p} - \not{k}_2 + m) \gamma_\nu}{u - m^2} \right\} \varepsilon_\mu^*(k_1) \varepsilon_\nu^*(k_2),$$

$$\begin{aligned} \frac{1}{4} \text{TSQ} &= \frac{1}{4 e^2} \sum_{\text{spins}} \sum_{\text{spins}} |T_{fi}|^2 \\ &= \frac{A_a}{(t - m^2)^2} + \frac{A_b + B_a}{(t - m^2)(u - m^2)} \\ &\quad + \frac{B_b}{(u - m^2)^2}. \end{aligned}$$

ここで,

$$\begin{aligned} A_a &= \frac{1}{4} \text{Tr} [(\not{q} - m) \gamma_\nu (\not{p} - \not{k}_1 + m) \gamma_\mu \\ &\quad (\not{p} + m) \gamma_\mu (\not{p} - \not{k}_1 + m) \gamma_\nu], \\ A_b &= \frac{1}{4} \text{Tr} [(\not{q} - m) \gamma_\nu (\not{p} - \not{k}_1 + m) \gamma_\mu \\ &\quad (\not{p} + m) \gamma_\nu (\not{p} - \not{k}_2 + m) \gamma_\mu], \end{aligned}$$

$$B_a = \frac{1}{4} \text{Tr} [(\not{q} - m) \gamma_\mu (\not{p} - \not{k}_2 + m) \gamma_\nu \\ (\not{p} + m) \gamma_\mu (\not{p} - \not{k}_1 + m) \gamma_\nu],$$

$$B_b = \frac{1}{4} \text{Tr} [(\not{q} - m) \gamma_\mu (\not{p} - \not{k}_2 + m) \gamma_\nu \\ (\not{p} + m) \gamma_\nu (\not{p} - \not{k}_2 + m) \gamma_\mu].$$

これらをREDUCEによって求めると

$$\begin{aligned} A_a &= -2t^2 - 2st + 2m^2s - 6m^4, \\ A_b &= 2m^2(s - 4m^2) = B_a, \\ B_b &= -2u^2 - 2su + 2m^2s - 6m^4 \\ &= -2t^2 + 2t(4m^2 - s) - 14m^4 + 6m^2s. \end{aligned}$$

従って, $x = t - m^2$, $y = u - m^2$ とし, さらに

$$F(x) = -2 + \frac{1}{x} \left(-2s - 8m^2 + \frac{16m^4}{s} \right) - \frac{8m^4}{x^2}$$

とすると

$$\frac{1}{e^4} \text{TSQ} = F(x) + F(y).$$

この反応では

$$\frac{d\sigma}{dt} = \frac{\text{TSQ}}{16\pi s(s - 4m^2)}.$$

全断面積 σ_{tot} は, 終状態が同種粒子よりなることにより, 微分断面積を全立体角で積分したものの半分である。

即ち,

$$\sigma_{\text{tot}} = \frac{1}{2} \int \left(\frac{d\sigma}{d\Omega} \right) d\Omega = \frac{1}{2} \int_{t_{\text{min}}}^{t_{\text{max}}} \left(\frac{d\sigma}{dt} \right) dt$$

$$t_{\text{max}} = -\frac{s}{2} + m^2 + \frac{1}{2} \sqrt{s} \sqrt{s - 4m^2}$$

$$t_{\text{min}} = -\frac{s}{2} + m^2 - \frac{1}{2} \sqrt{s} \sqrt{s - 4m^2}.$$

こうして

$$\sigma_{\text{tot}} = \frac{e^4}{8\pi s(s - 4m^2)} \left\{ \left(s + 4m^2 - \frac{8m^4}{s} \right) \times \right.$$

$$\ln \frac{\sqrt{s} + \sqrt{s-4m^2}}{\sqrt{s} - \sqrt{s-4m^2}} - \sqrt{\frac{s-4m^2}{s}} (s+4m^2) \Bigg\}.$$

重心系での e^+ 又は e^- の速度

$$\beta = \sqrt{\frac{s-4m^2}{s}}$$

であらわすと

$$\sigma_{\text{tot}} = \frac{\pi \alpha^2}{4 m^2 \beta} (1 - \beta^2) \left\{ 2(\beta^2 - 2) + \frac{3 - \beta^4}{\beta} \ln \frac{1 + \beta}{1 - \beta} \right\}.$$

初期状態において電子が静止している実験系で陽電子のエネルギーを E_+ とし $\gamma = (E_+/m)$ を用いてあらわすと

$$\sigma_{\text{tot}} = \frac{\pi \gamma^2}{\gamma + 1} \left\{ \frac{\gamma^2 + 4\gamma + 1}{\gamma^2 - 1} \ln(\gamma + \sqrt{\gamma^2 - 1}) - \frac{\gamma + 3}{\sqrt{\gamma^2 - 1}} \right\}.$$

高エネルギー極限 ($s \rightarrow \infty$) では,

$$\left(\frac{d\sigma}{d\Omega} \right)_{\text{CM}} = \frac{\alpha^2}{2s} \left(\frac{u}{t} + \frac{t}{u} \right) = \frac{\alpha^2}{2s} \left(\tan^2 \frac{\theta}{2} + \cot^2 \frac{\theta}{2} \right),$$

```

00000001 %----- PROGRAM FOR PAIR ANNIHILATION CROSS SECTION;
00000002 LINELENGTH(78);
00000003 130
00000004
00000005 MASS P=M,Q=M,K1=0,K2=0;
00000006 MSHELL P,Q,K1,K2;
00000007
00000008 OPERATOR F;
00000009 FORALL PP LET F(PP)=G(L,PP);
00000010
00000011 U:=2*M**2-S-T*
00000012 K2:=P+Q-K1*
00000013 P,Q:=S/2-M**2*
00000014 P,K1:=(M**2-T)/2*
00000015 Q,K1:=(S+T-M**2)/2*
00000016
00000017 ON RAT;
00000018 FACTOR T;
00000019 ORDER T,S,M;
00000020
00000021 INDEX MU, NU;
00000022
00000023 AA:=(F(Q)-M)*F(NU)*(F(P)-F(K1)+M)*F(MU)*
00000024 (F(P)+M)*F(MU)*(F(P)-F(K1)+M)*F(NU);
00000025 AA := - 2*T - 2*T*S + 2*M*(S - 3*M)
00000026
00000027
00000028 AB:=(F(Q)-M)*F(NU)*(F(P)-F(K1)+M)*F(MU)*
00000029 (F(P)+M)*F(NU)*(F(P)-F(K2)+M)*F(MU);
00000030 AB := 2*M*(S - 4*M)
00000031
00000032
00000033 BA:=(F(Q)-M)*F(MU)*(F(P)-F(K2)+M)*F(NU)*
00000034 (F(P)+M)*F(MU)*(F(P)-F(K1)+M)*F(NU);
00000035 BA := 2*M*(S - 4*M)
00000036
00000037
00000038 BB:=(F(Q)-M)*F(MU)*(F(P)-F(K2)+M)*F(NU)*
00000039 (F(P)+M)*F(NU)*(F(P)-F(K2)+M)*F(MU);
00000040 BB := - 2*T + 2*T*(- S + 4*M) + 2*M*(3*S - 7*M)
00000041
00000042
00000043 END;

```

Fig. 4 REDUCE program for pair annihilation.

$$\sigma_{\text{tot}} = \frac{e^4}{8\pi} \frac{1}{s} \ln \frac{s}{m^2} + O\left(\frac{\ln s}{s^2}\right).$$

低エネルギー極限 ($\beta \rightarrow 0$) では

$$\sigma_{\text{tot}} = \frac{\pi \alpha^2}{2m^2} \frac{1}{\beta} + O(\beta^0)$$

となり発熱反応特有の ($1/v$) 特性を示す。

5. Moeller 散乱

Moeller 散乱は相対論的な 2 粒子の弾性散乱である。各粒子の運動量を

$$e(p_1) + e(p_2) \rightarrow e(q_1) + e(q_2)$$

としよう。2 次の Feynman 図は二つ生じ、それらの寄与の差が散乱振幅である。

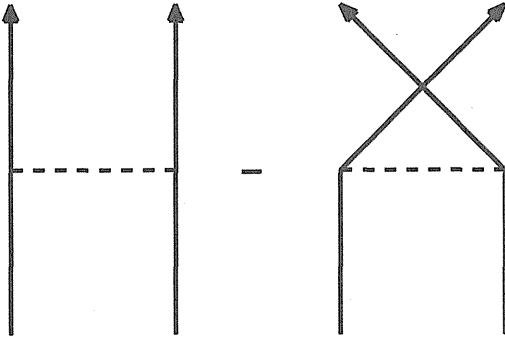


Fig. 5 Feynman diagrams for the Moeller scattering.

即ち、

$$\begin{aligned} \frac{1}{e^2} T_{fi} = & -\frac{1}{t} \bar{u}(q_1) \gamma_\mu u(p_1) \cdot \bar{u}(q_2) \gamma_\mu u(p_2) \\ & + \frac{1}{u} \bar{u}(q_1) \gamma_\mu u(p_2) \cdot \bar{u}(q_2) \gamma_\mu u(p_1). \end{aligned}$$

さらに

$$\frac{1}{e^4} \text{TSQ} = \frac{4}{t^2} A_a + \frac{1}{t u} (A_b + B_a) + \frac{4}{u^2} B_b,$$

$$\begin{aligned} A_a = & \frac{1}{16} \text{Tr}[\gamma_\mu(\not{p}_1+m)\gamma_\nu(\not{q}_1+m)] \cdot \\ & \text{Tr}[\gamma_\mu(\not{p}_2+m)\gamma_\nu(\not{q}_2+m)], \end{aligned}$$

$$\begin{aligned} A_b = & -\frac{1}{4} \text{Tr}[\gamma_\mu(\not{p}_1+m)\gamma_\nu(\not{q}_2+m) \\ & \gamma_\mu(\not{p}_2+m)\gamma_\nu(\not{q}_1+m)], \end{aligned}$$

$$\begin{aligned} B_a = & -\frac{1}{4} \text{Tr}[\gamma_\mu(\not{p}_2+m)\gamma_\nu(\not{q}_2+m) \\ & \gamma_\mu(\not{p}_1+m)\gamma_\nu(\not{q}_1+m)], \end{aligned}$$

$$\begin{aligned} B_b = & \frac{1}{16} \text{Tr}[\gamma_\mu(\not{p}_2+m)\gamma_\nu(\not{q}_1+m)] \cdot \\ & \text{Tr}[\gamma_\mu(\not{p}_1+m)\gamma_\nu(\not{q}_2+m)]. \end{aligned}$$

REDUCE によって計算すると

$$A_a = \frac{1}{2} t^2 + s t + (s - 2m^2)^2$$

$$A_b = 2(s^2 - 8m^2 s + 12m^4) = B_a$$

$$B_b = \frac{1}{2} u^2 + s u + (s - 2m^2)^2$$

$$= \frac{1}{2} t^2 - 4m^2 t + \frac{1}{2} s^2 - 4m^2 s + 12m^4.$$

こうして

$$\frac{1}{e^4} \text{TSQ} = \frac{4}{t^2} A_a + \frac{2}{t u} A_b + \frac{4}{u^2} B_b$$

とかけるが、右辺の第 1 項と第 3 項は各々 t -channel と u -channel に光子を交換したために生ずる項、第 2 項はそれらの干渉の結果生ずる項である。この干渉項は $s = 2m^2$ と $s = 6m^2$ で符号をかえその間で負である。前者は非物理的な値であり、後者は $p_{\text{CM}} = \frac{m}{\sqrt{2}}$ に相当する値である。

この反応では、

$$\left(\frac{d\sigma}{d\Omega}\right)_{\text{CM}} = \frac{\text{TSQ}}{64\pi^2 s}$$

であるが、これを特に p と $\sin\theta$ であらわすと

$$\begin{aligned} \left(\frac{d\sigma}{d\Omega}\right)_{\text{CM}} = & \frac{1}{4} \frac{\alpha^2}{p^4(m^2+p^2)} \frac{1}{\sin^4\theta} \left\{ p^4 \sin^4\theta \right. \\ & - (3m^4 + 12m^2 p^2 + 8p^4) \sin^2\theta \\ & \left. + 4(m^2 + 2p^2)^2 \right\}. \end{aligned}$$

ここで $\alpha = \frac{e^2}{4\pi}$ は微細構造定数である。又簡単の為 p_{CM}
 $= p$ と書いた。この様に微分断面は前方と後方に鋭い
 ピークを持ち、そのために $\sigma_{tot} = \infty$ になってしまう。

低エネルギー極限では

$$\left(\frac{d\sigma}{d\Omega}\right)_{CM} = \frac{\alpha^2 m^2}{p^4 \sin^4 \theta} \left(1 - \frac{3}{4} \sin^2 \theta\right) + O\left(\frac{1}{p^2}\right).$$

これは非相対論的 Coulomb 散乱, その交換項およびそれ
 らの干渉項にわけられる。即ち

$$\left(\frac{d\sigma}{d\Omega}\right)_{CM} = \frac{\alpha^2 m^2}{16 p^4} \left(\frac{1}{\sin^4 \frac{\theta}{2}} - \frac{1}{\sin^2 \frac{\theta}{2} \cos^2 \frac{\theta}{2}} \right. \\ \left. + \frac{1}{\cos^4 \frac{\theta}{2}} \right) + O\left(\frac{1}{p^2}\right) = \frac{\alpha^2 m^2}{16 p^4} \times$$

$$\left| \frac{1}{\sin^2 \frac{\theta}{2}} + \exp\left(\pm \frac{2}{3} \pi i\right) \frac{1}{\cos^2 \frac{\theta}{2}} \right|^2 \\ + O\left(\frac{1}{p^2}\right).$$

高エネルギー極限に相当する式は始めの式で $m = 0$ と
 おいて考えられる。

$$\left(\frac{d\sigma}{d\Omega}\right)_{CM} = \frac{\alpha^2}{s} \frac{1}{\sin^4 \theta} (4 - \sin^2 \theta)^2$$

又は

$$\left(\frac{d\sigma}{d\Omega}\right)_{CM} = \frac{\alpha^2}{2s} \left\{ \frac{u^2 + s^2}{t^2} + \frac{2s^2}{tu} + \frac{t^2 + s^2}{u^2} \right\}.$$

```

00000001 %----- MOELLER SCATTERING-----;
00000002 LINELENGTH(78);
00000003 130
00000004 INDEX MU,NU;
00000005 MASS PA=M,PB=M,QA=M,QB=M;
00000006 MSHELL PA,PB,QA,QB;
00000007 PA.PB:=QA.QB:=S/2-M**2*≠
00000008 PA.QA:=PB.QB:=M**2-TT/2*≠
00000009 PA.QB:=PB.QA:=M**2-U/2*≠
00000010 U:=4*M**2-S-TT*≠
00000011 ORDER TT,S,M;
00000012 FACTOR TT;
00000013
00000014 OPERATOR J,K;
00000015 FORALL P LET J(P)=G(L1,P),K(P)=G(L2,P);
00000016 AA:= J(MU)*(J(PA)+M)*J(NU)*(J(QA)+M)*
00000017 K(MU)*(K(PB)+M)*K(NU)*(K(QB)+M);
00000018 2 2 2 4
00000019 AA := (TT + 2*TT*S + 2*(S - 4*S*M + 4*M ))/2
00000020
00000021 AB:= -J(MU)*(J(PA)+M)*J(NU)*(J(QB)+M)*
00000022 J(MU)*(J(PB)+M)*J(NU)*(J(QA)+M);
00000023 2 2 4
00000024 AB := 2*(S - 8*S*M + 12*M )
00000025
00000026 BA:= -J(MU)*(J(PB)+M)*J(NU)*(J(QB)+M)*
00000027 J(MU)*(J(PA)+M)*J(NU)*(J(QA)+M);
00000028 2 2 4
00000029 BA := 2*(S - 8*S*M + 12*M )
00000030
00000031 BB:= J(MU)*(J(PB)+M)*J(NU)*(J(QA)+M)*
00000032 K(MU)*(K(PA)+M)*K(NU)*(K(QB)+M);
00000033 2 2 2 4
00000034 BB := (TT - 8*TT*M + S - 8*S*M + 24*M )/2
00000035
00000036 AB-BA;
00000037 0
00000038 SUB(TT=4*M**2-S-TT,BB)-AA;
00000039 0
00000040 END;
    
```

Fig. 6 REDUCE program for the Moeller scattering.

これから

6. Bhabha 散乱

Bhabha 散乱は電子と陽電子との弾性散乱である。各粒子の4次元運動量を

$$e(p_1) + e^+(q_1) \rightarrow e(p_2) + e^+(q_2)$$

ととろう。2次のFeynman図は二つ生じ、これらの寄与の差が散乱振幅を与える。

従って、

$$\frac{1}{e^2} T_{fi} = \frac{1}{t} \cdot \bar{u}(p_2) \gamma_\mu u(p_1) \cdot \bar{v}(q_1) \gamma_\mu v(q_2) - \frac{1}{s} \cdot \bar{v}(q_1) \gamma_\mu u(p_1) \cdot \bar{u}(q_2) \gamma_\mu v(q_2).$$

$$\frac{1}{e^4} \text{TSQ} = \frac{4A}{t^2} - \frac{2B}{st} + \frac{4C}{s^2},$$

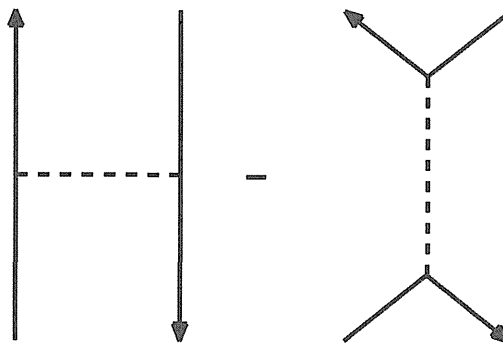


Fig. 7 Feynman diagrams for the Bhabha scattering.

```

00000001 %----- CROSS SECTION OF BHABHA SCATTERING -----;
00000002
00000003 MASS P1=M,P2=M,Q1=M, Q2=M;
00000004 MSHELL P1,P2,Q1,Q2;
00000005 Q2:=P1+Q1-P2;
00000006 P1.Q1:=S/2-M**2;
00000007 P1.P2:=M**2-T/2;
00000008 Q1.P2:=(S+T)/2-M**2;
00000009
00000010 OPERATOR J,K;
00000011 FORALL P LET J(P)=G(L1,P);
00000012 FORALL P LET K(P)=G(L2,P);
00000013
00000014 INDEX MU,R;
00000015 FACTOR T;
00000016 ORDER T,S,M;
00000017
00000018 (J(P2)+M)*J(MU)*(J(P1)+M)*J(R)*(K(Q1)-M)*K(MU)*(K(Q2)-M)*K(R);
00000019 2 2 2 4
00000020 (T + 2*T*S + 2*(S - 4*S*M + 4*M ))/2
00000021
00000022 AA:=WS;
00000023
00000024
00000025 -(J(P2)+M)*J(MU)*(J(P1)+M)*J(R)*(J(Q1)-M)*J(MU)*(J(Q2)-M)*J(R);
00000026 2 2 4
00000027 2*T + 4*T*S + 2*(S - 4*M )
00000028
00000029 BB:=WS;
00000030
00000031
00000032 (J(Q1)-M)*J(MU)*(J(P1)+M)*J(R)*(K(P2)+M)*K(MU)*(K(Q2)-M)*K(R);
00000033 2 2 2 4
00000034 (2*T + 2*T*(S - 4*M ) + S + 8*M )/2
00000035
00000036 CC:=WS;
00000037
00000038 END;
    
```

Fig. 8 REDUCE program for the Bhabha scattering.

$$\begin{aligned}
 A &= \frac{1}{4} \text{Tr} [(\not{x}_2 + m) \gamma_\mu (\not{x}_1 + m) \gamma_\rho] \cdot \\
 &\quad \frac{1}{4} \text{Tr} [(\not{x}'_1 - m) \gamma_\mu (\not{x}'_2 - m) \gamma_\rho], \\
 B &= \frac{1}{4} \text{Tr} [(\not{x}'_2 + m) \gamma_\mu (\not{x}'_1 + m) \gamma_\rho \\
 &\quad (\not{x}'_1 - m) \gamma_\mu (\not{x}'_2 - m) \gamma_\rho], \\
 C &= \frac{1}{4} \text{Tr} [(\not{x}'_1 - m) \gamma_\mu (\not{x}'_1 + m) \gamma_\rho] \cdot \\
 &\quad \frac{1}{4} \text{Tr} [(\not{x}'_2 + m) \gamma_\mu (\not{x}'_2 - m) \gamma_\rho].
 \end{aligned}$$

REDUCE によれば

$$\begin{aligned}
 A &= \frac{1}{2} t^2 + s t + s^2 - 4 m^2 s + 4 m^4, \\
 B &= 2(-t^2 - 2 s t - s^2 + 4 m^4), \\
 C &= \frac{1}{2} s^2 + t s + t^2 - 4 m^2 t + 4 m^4.
 \end{aligned}$$

交叉対称性から, u を不変にして s と t とを入れかえると, B は不変にとどまり A と C は互いに入れかわる。

重心系での微分断面積は,

$$\left(\frac{d\sigma}{d\Omega} \right)_{\text{CM}} = \frac{\text{TSQ}}{64 \pi^2 s}$$

より求まる。この量は $\theta = 0$ の前方にのみ鋭いピークを示し, その為 $\sigma_{\text{tot}}(s) = \infty$ となる。

7. むすび

典型的な量子電気力学の反応を REDUCE プログラムに援けられながら記述して来た。ここにとりあげなかったもので重要なものの中には, 真空中の2光子のDelbrueck散乱および外場中でおこる諸過程, 例えば電子の制動輻射, 1個の光子による電子陽電子対創生, 1個の光子の2光子への崩壊等がある。さらに, くりこみを必要とする諸結果を求めるのにも REDUCE プログラムは有用である。これらの問題については稿をあらためて述べることにしたい。

参 考 文 献

- (1) A.C. Hearn : *REDUCE User's Manual, Version 3.0*, Rand Corporation(1983)
- (2) ハイトラー著, 沢田克郎訳: 輻射の量子論(上, 下), 吉岡書店(1957)
- (3) A. I. Akhiezer and V.B. Berestetskii : *Quantum Electrodynamics*, Interscience Publishers (1965)
- (4) J.D. Bjorken and S.D. Drell : *Relativistic Quantum Fields*, McGraw-Hill(1965)